



## Bibliografía

¿Cómo está la diferenciación de las células Th? La regulada la cooperación T

# Modelación

Reglas  
Cadenas de Markov  
Poblacional

Problemas



Modelación de la diferenciación de linfocitos T cooperadores  
Doctorado en Ciencias Biomédicas  
Mariana Esther Martínez Sánchez  
Instituto de Ecología  
Dra. Elena Alvarez-Buylla Ríos  
Dra. Marisa Hirata Brancatelli  
Dr. Luis Mendoza Sierra

# **Doctorado en Ciencias Biomédicas**

**Mariana Esther Martínez Sánchez**

Modelación de la diferenciación  
de linfocitos T cooperadores

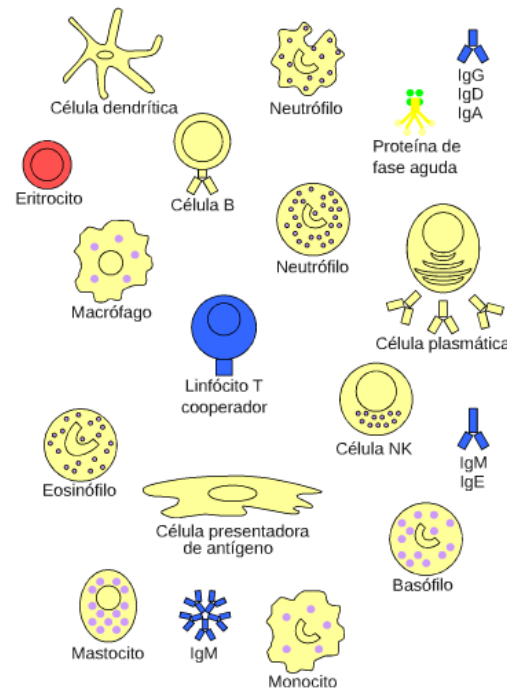
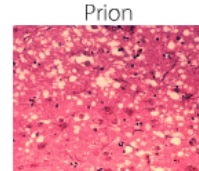
**Instituto de Ecología**

**Dra. Elena Alvarez-Buylla Roces**

**Dra. Marcia Hiriart Urdanivia**

**Dr. Luis Mendoza Sierra**

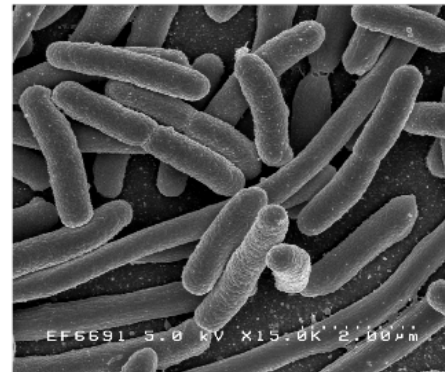
# Sistema inmune



Helminto



E. coli



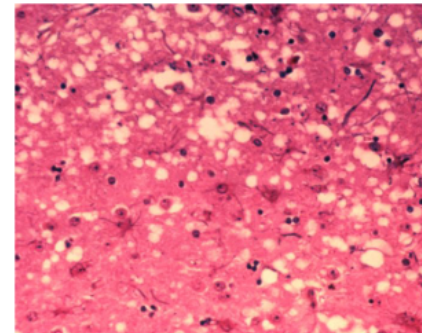
Bacteriófago

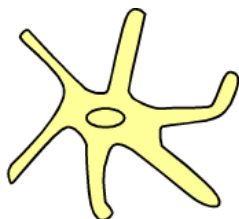


Cancer

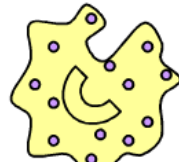


Prion





Célula dendrítica



Neutrófilo



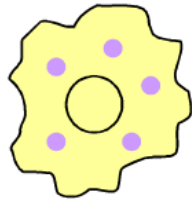
IgG  
IgD  
IgA



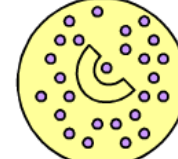
Eritrocito



Célula B



Macrófago



Neutrófilo



Proteína de  
fase aguda



Célula plasmática



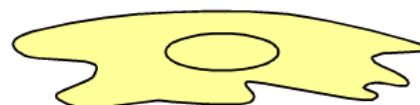
Célula NK



IgM  
IgE



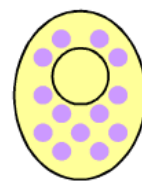
Eosinófilo



Célula presentadora  
de antígeno



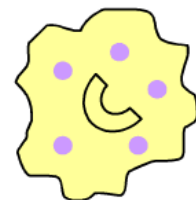
Basófilo



Mastocito

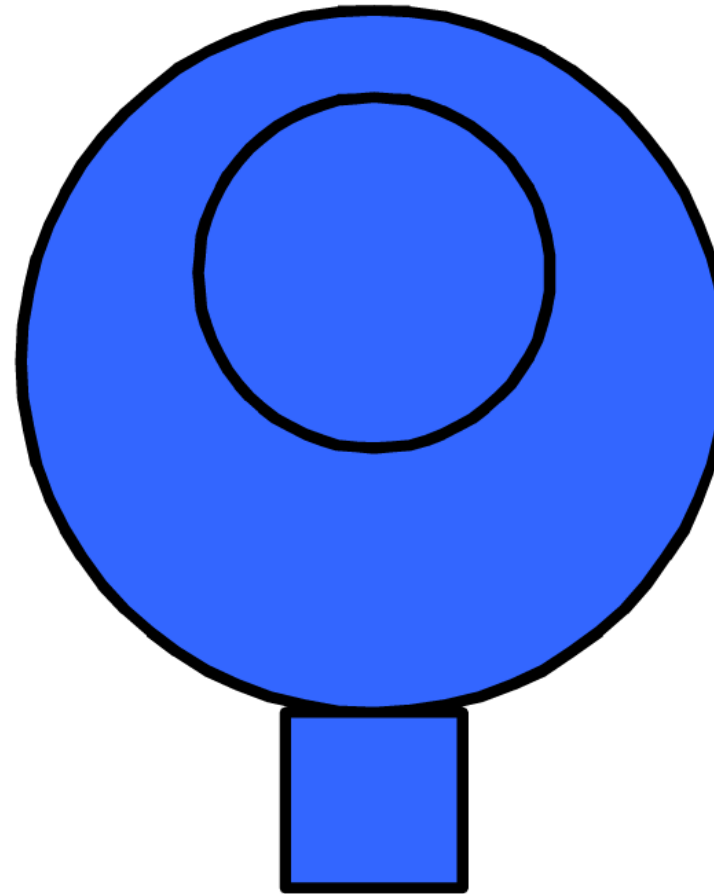


IgM



Monocito

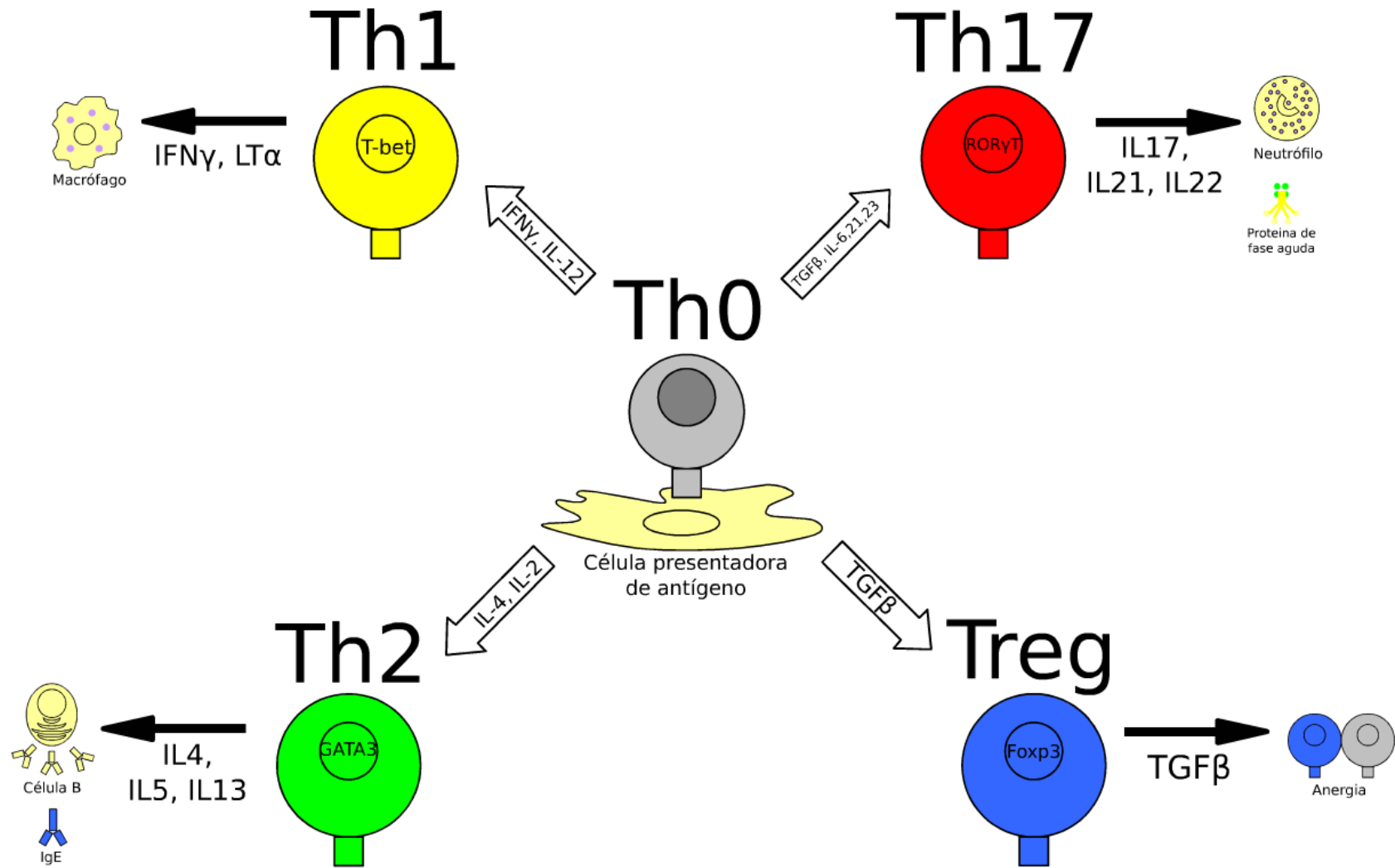
ago

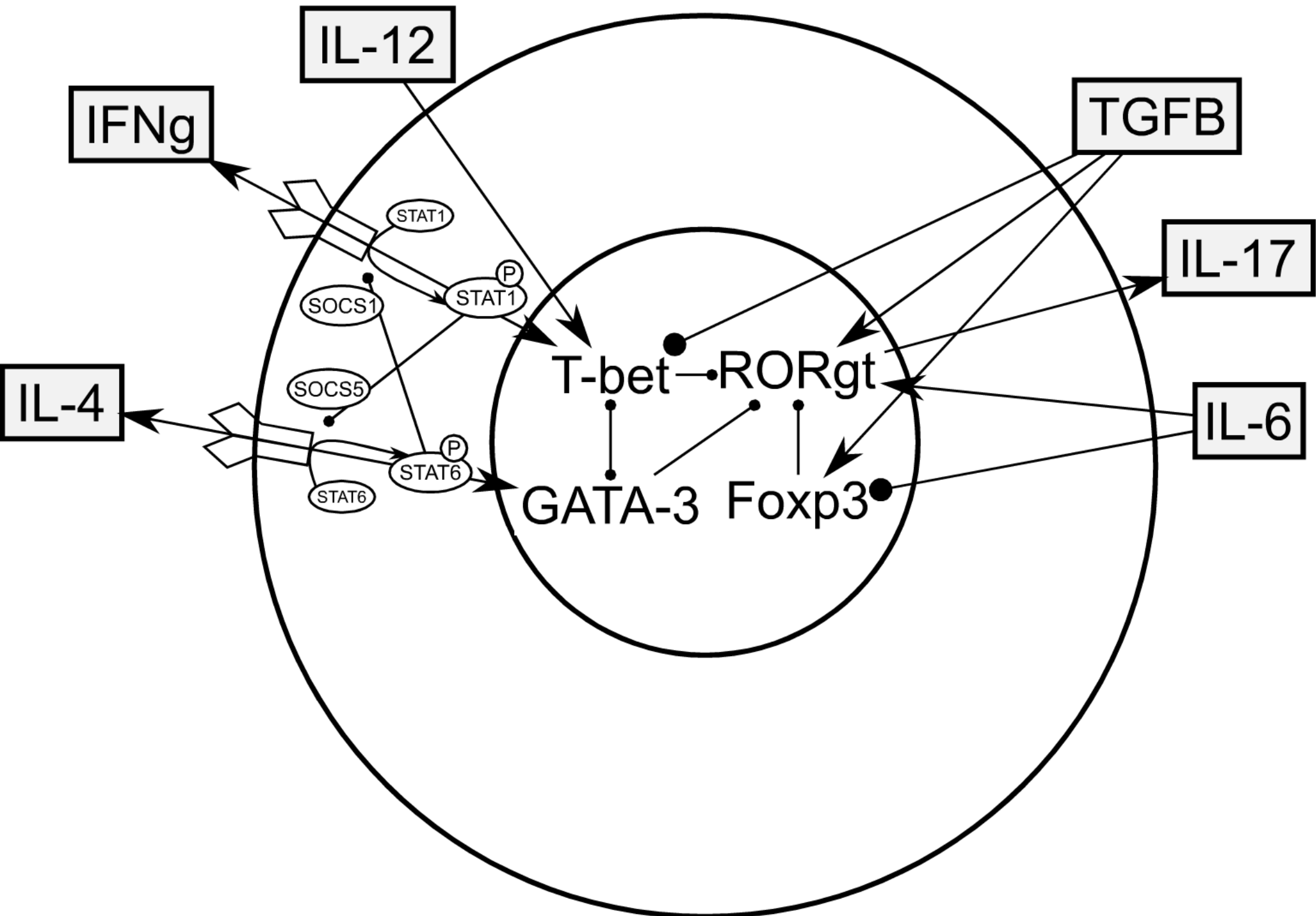


Linfócito T  
cooperador

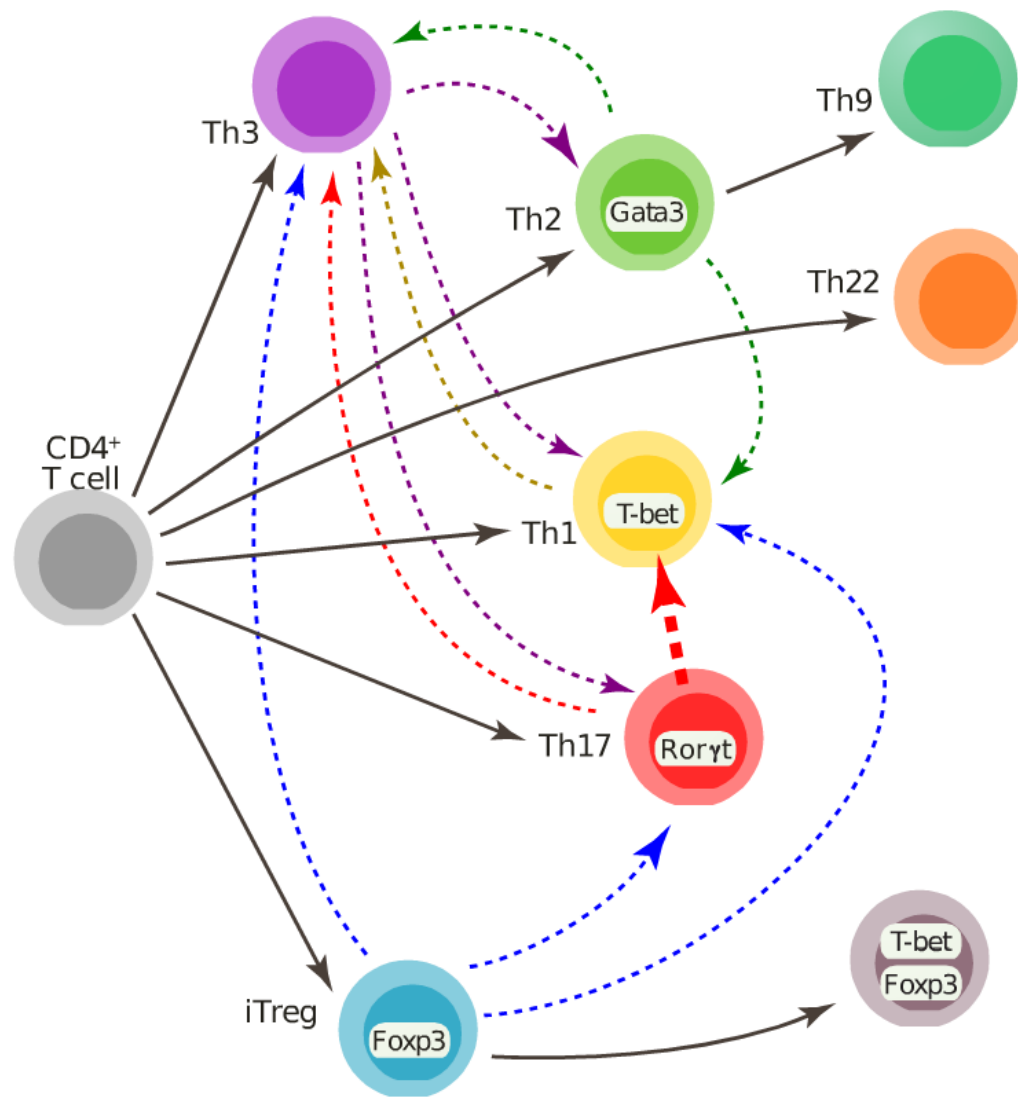
# Linfocitos T cooperadores

regulan la respuesta inmune adaptativa





# plasticidad

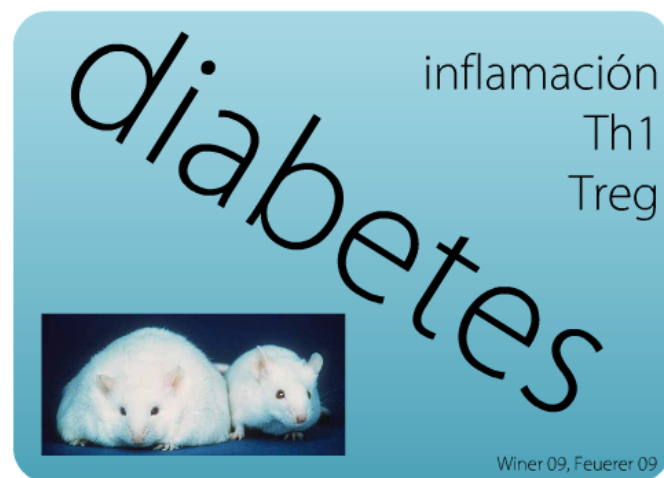


# Importancia



enfermedades  
autoinmunes

asma  
cancer  
encefalomieltitis  
esclerosis múltiple  
artritis reumatoide  
inflamaciones gástricas  
CVID (Common Variable Immunodeficiency)

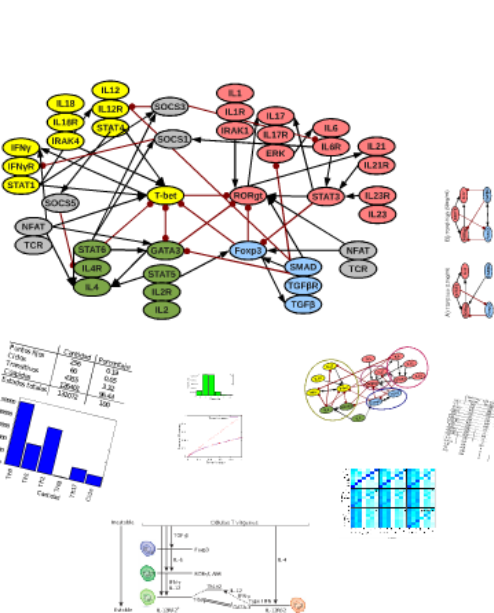


¿Como está  
regulada la  
diferenciación de  
las células Th?

*Redes*

- Booleanas
  - Variables binarias
  - Operaciones lógicas
  - Reglas de transición
  - Algoritmos de ejecución
- Continuas
  - Variables reales
  - Derivadas
  - Integración
  - Diferenciación
  - Algoritmos de ejecución
- Híbridas
  - Booleanas y continuas juntas
  - Variables binarias y reales
  - Reglas de transición
  - Algoritmos de ejecución

*Estatísticas*



*Reglas*

Cadenas de Markov

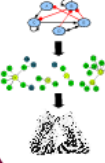
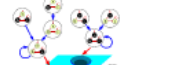
Poblacional

# Modelación

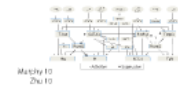
# Redes

gen/proteína = nodo  
interacciones = aristas

- activación
- inhibición



revisiones



Estocásticas

elementos aleatorios

activación  
genes  
tiempo  
proteínas

## Booleanas

Dinámicas

Discretas

- prendido (1)
- apagado (0)



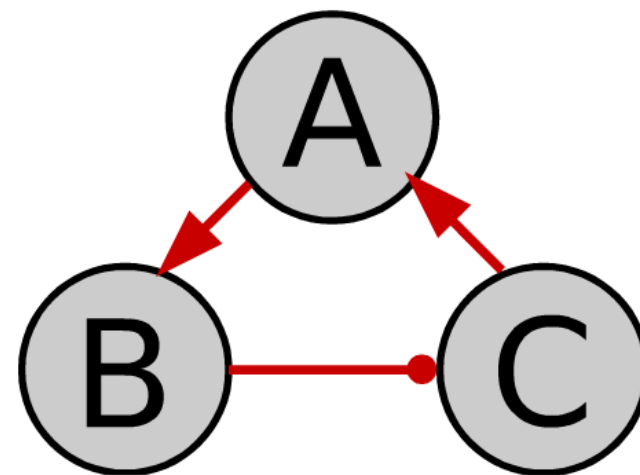
## Continuas

Proteínas

- Síntesis
- Degradación
- Señalización

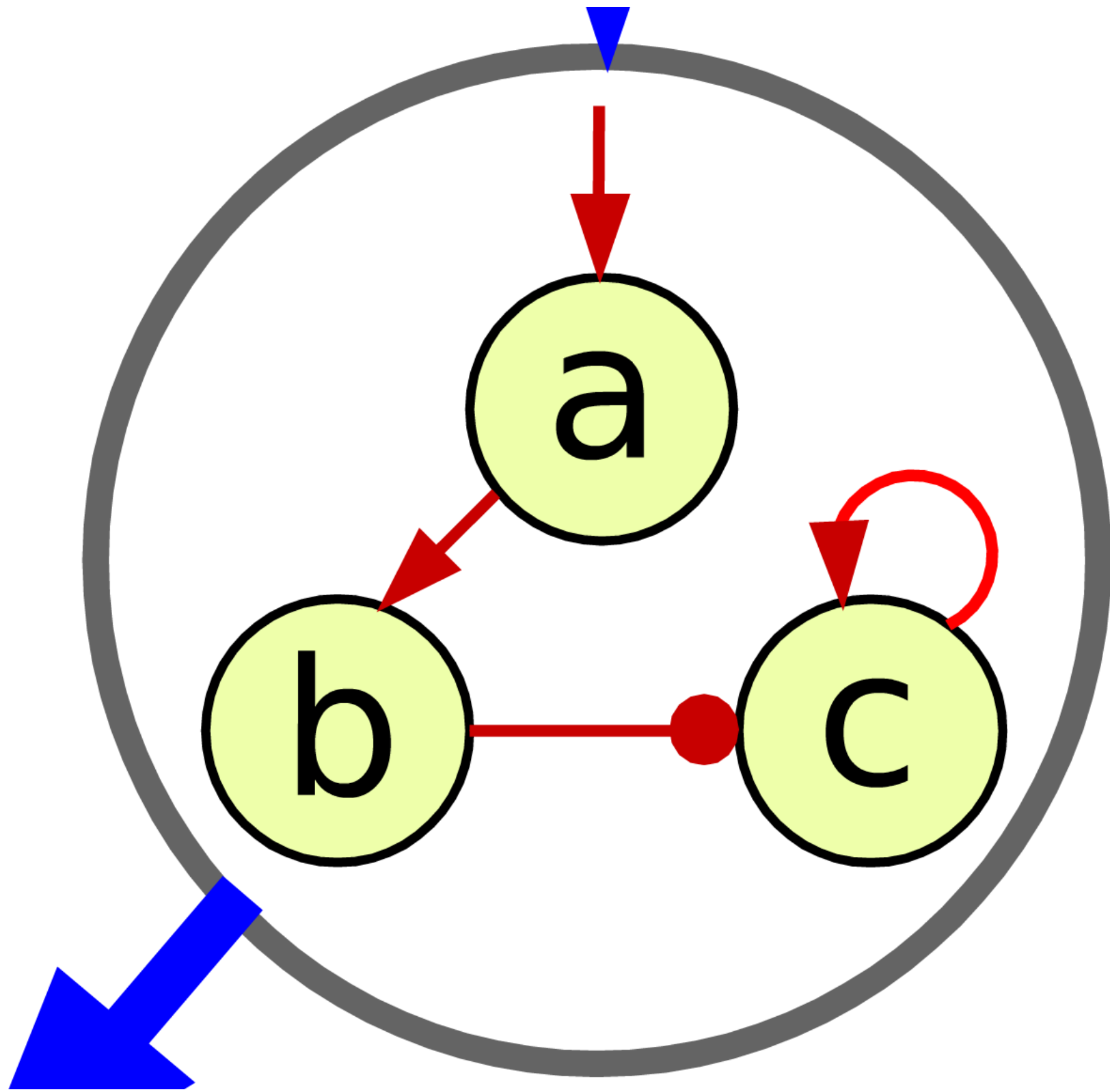
gen/proteína = nodo  
interacciones = aristas

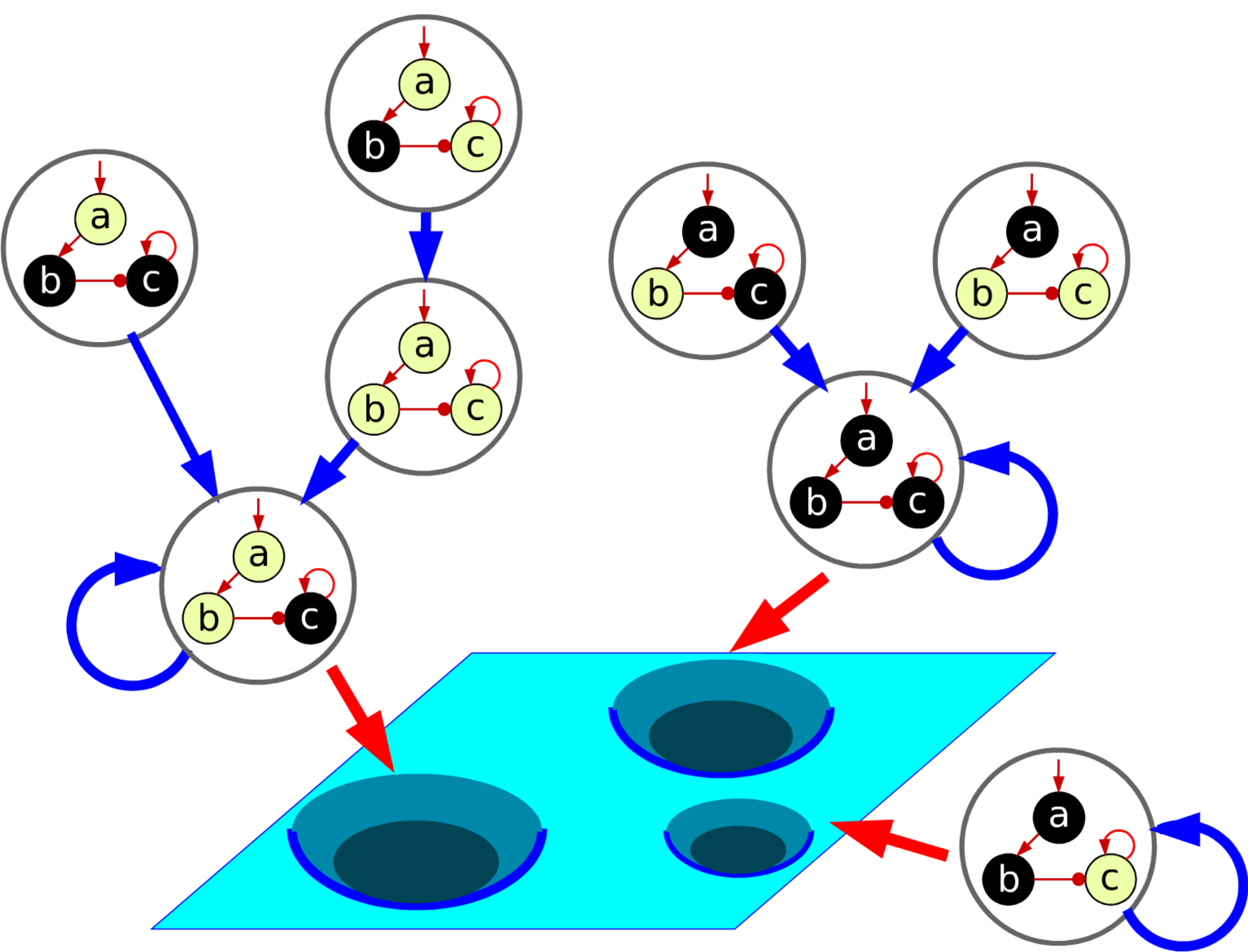
- activación
- inhibición

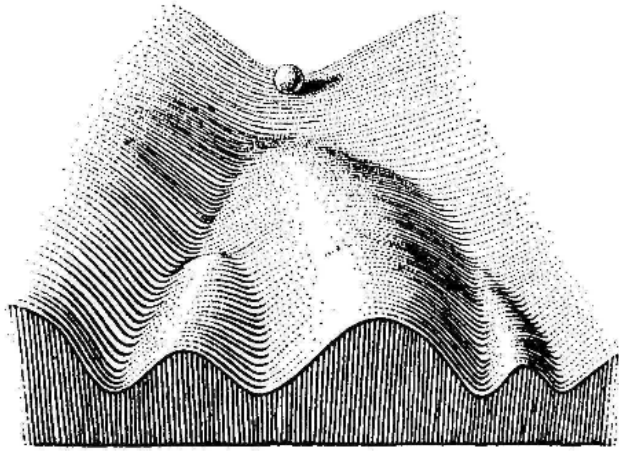
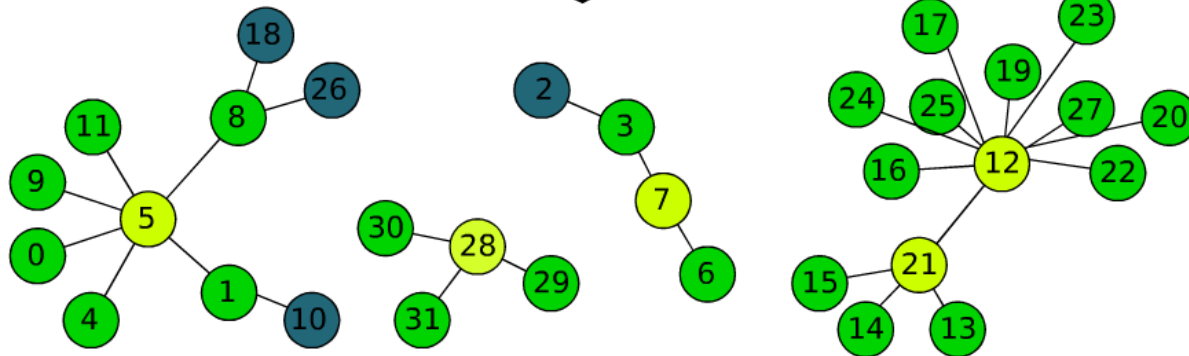
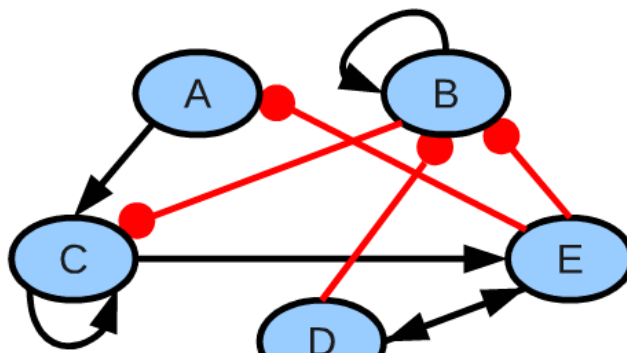




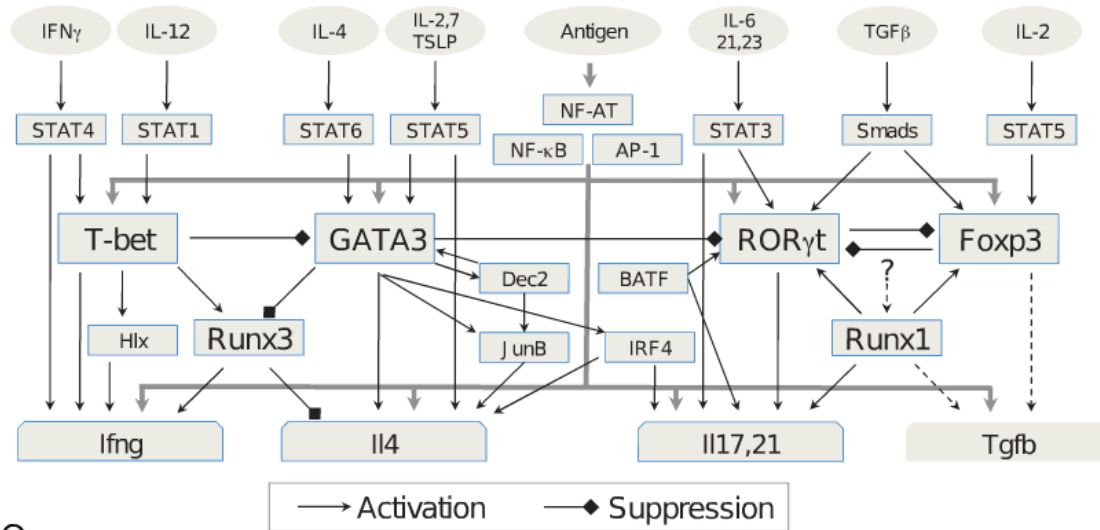
- a activa b
- b inhibe c
- c se autoinduce
- a es una señal externa







# revisiones



Murphy 10  
Zhu 10

# Booleanas

Dinámicas

Discretas

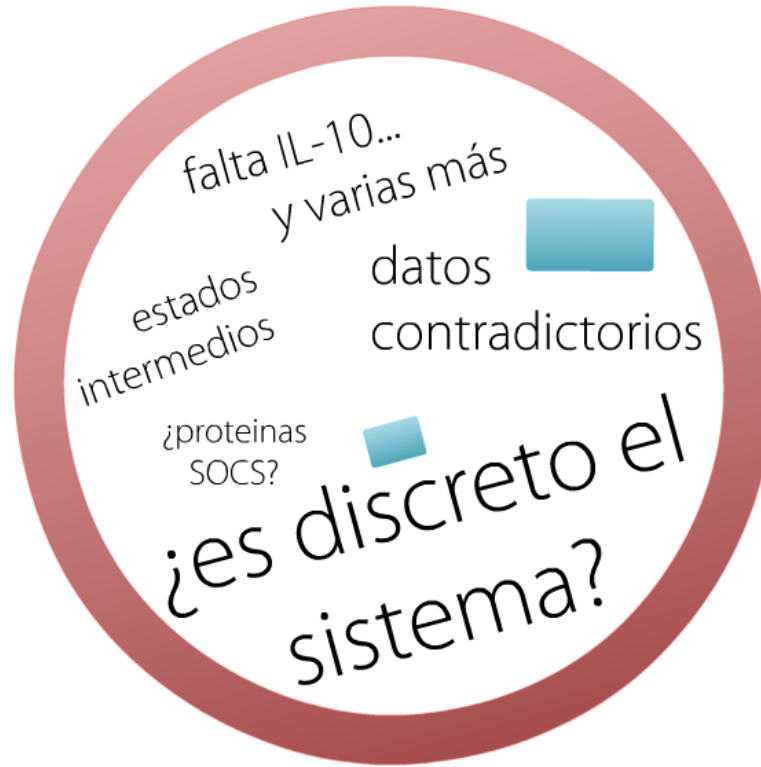
- prendido (1)
- apagado (0)

Dirigidas

Finitas

Deterministas

Fácil análisis



# Continuas

Proteinas

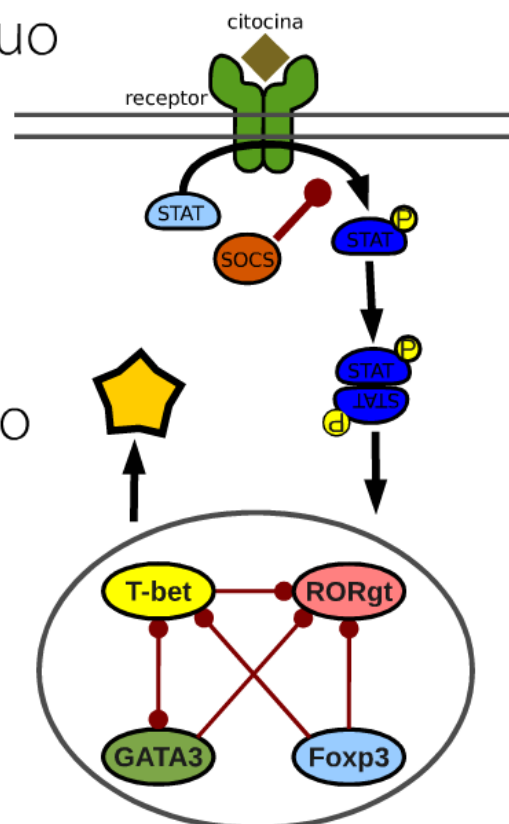
- Síntesis
- Degradación
- Señalización

Faltan  
parámetros  
cuantitativos

Dinámicas  
Dirigidas  
Deterministas  
Continuas (sigmoidal)

# Híbridas

continuo



discreto

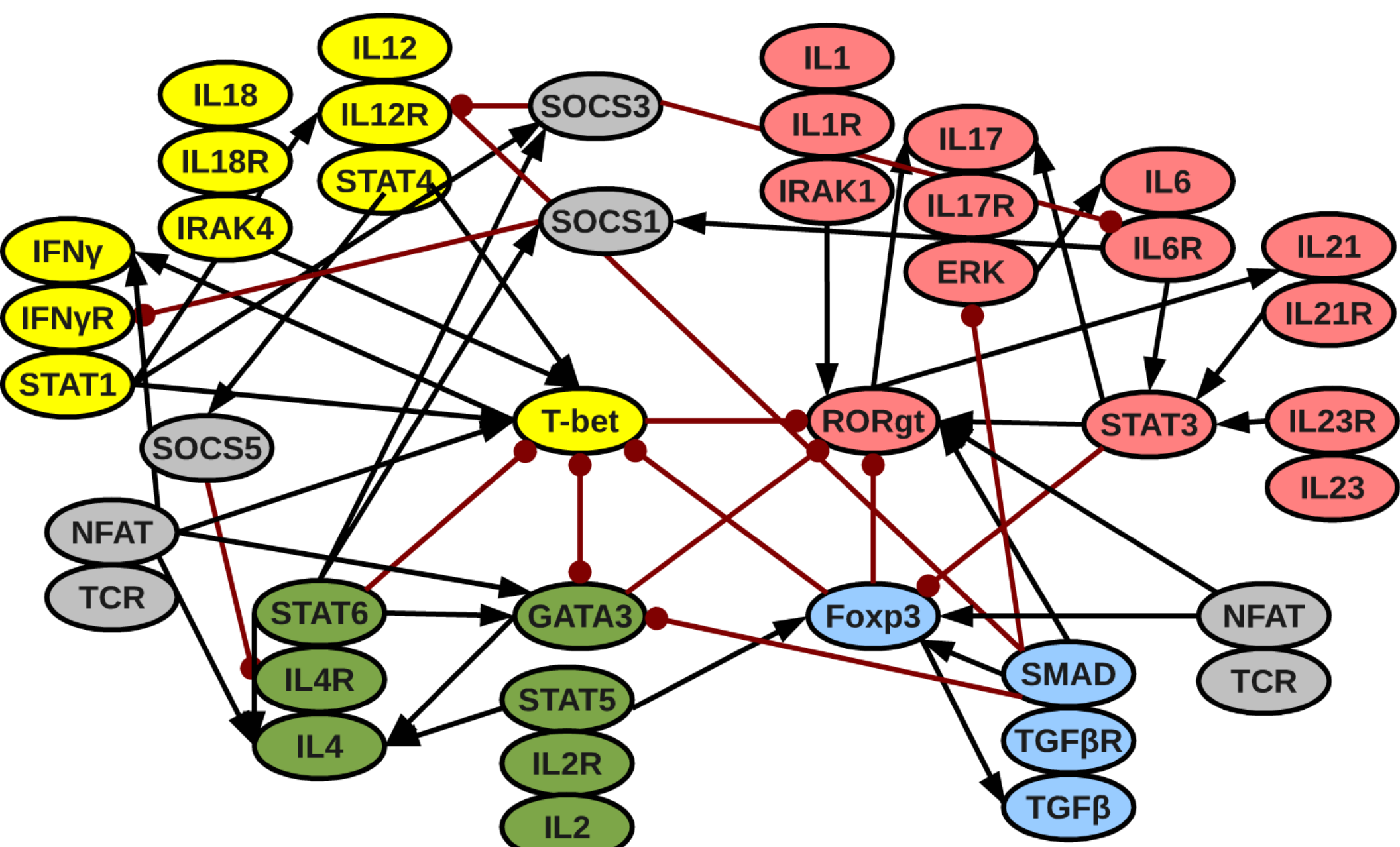
buscando  
parámetros

# Estocásticas

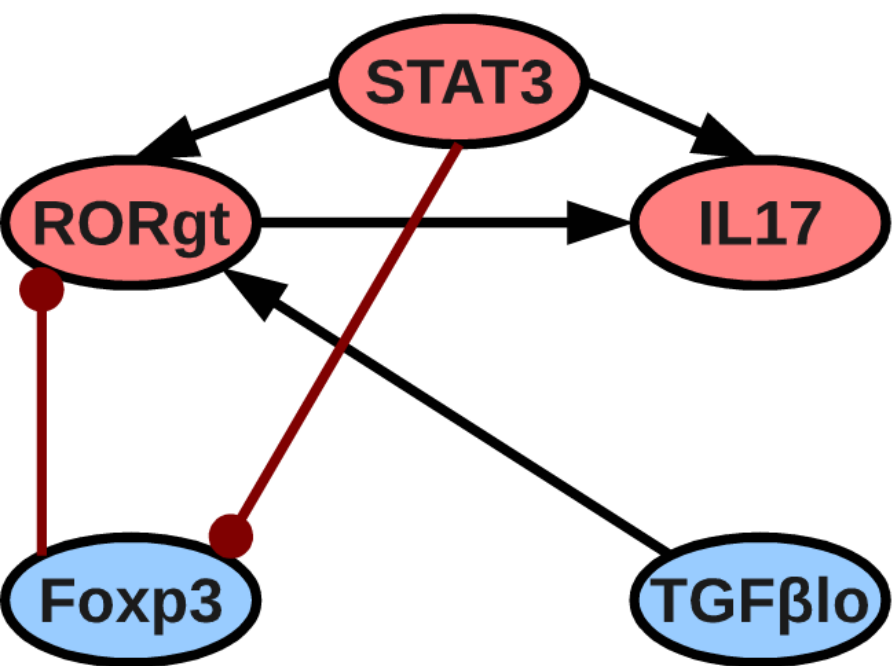
elementos aleatorios

activación  
genes

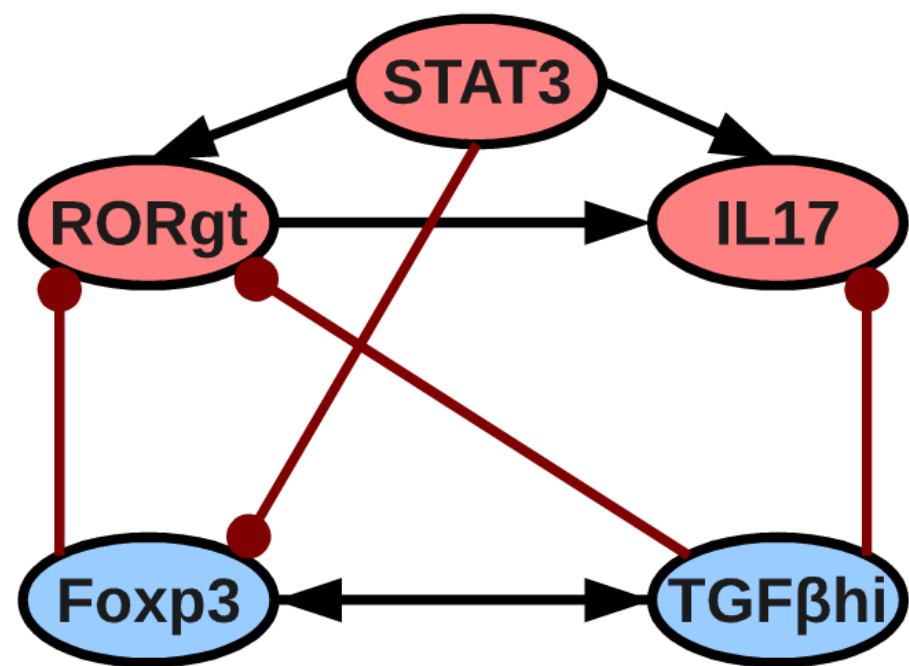
proteínas  
tiempo



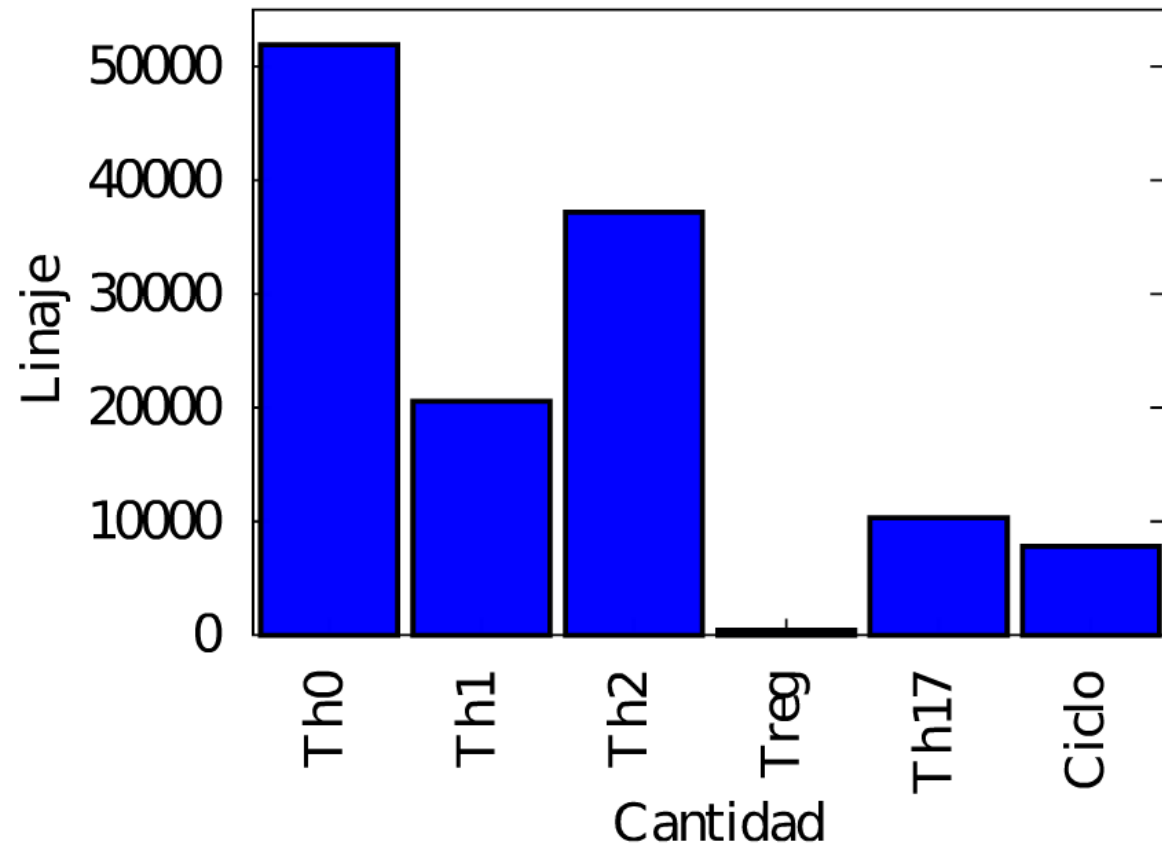
A) TGF $\beta$  low (10ng/ml)



B) TGF $\beta$  high (50ng/ml)



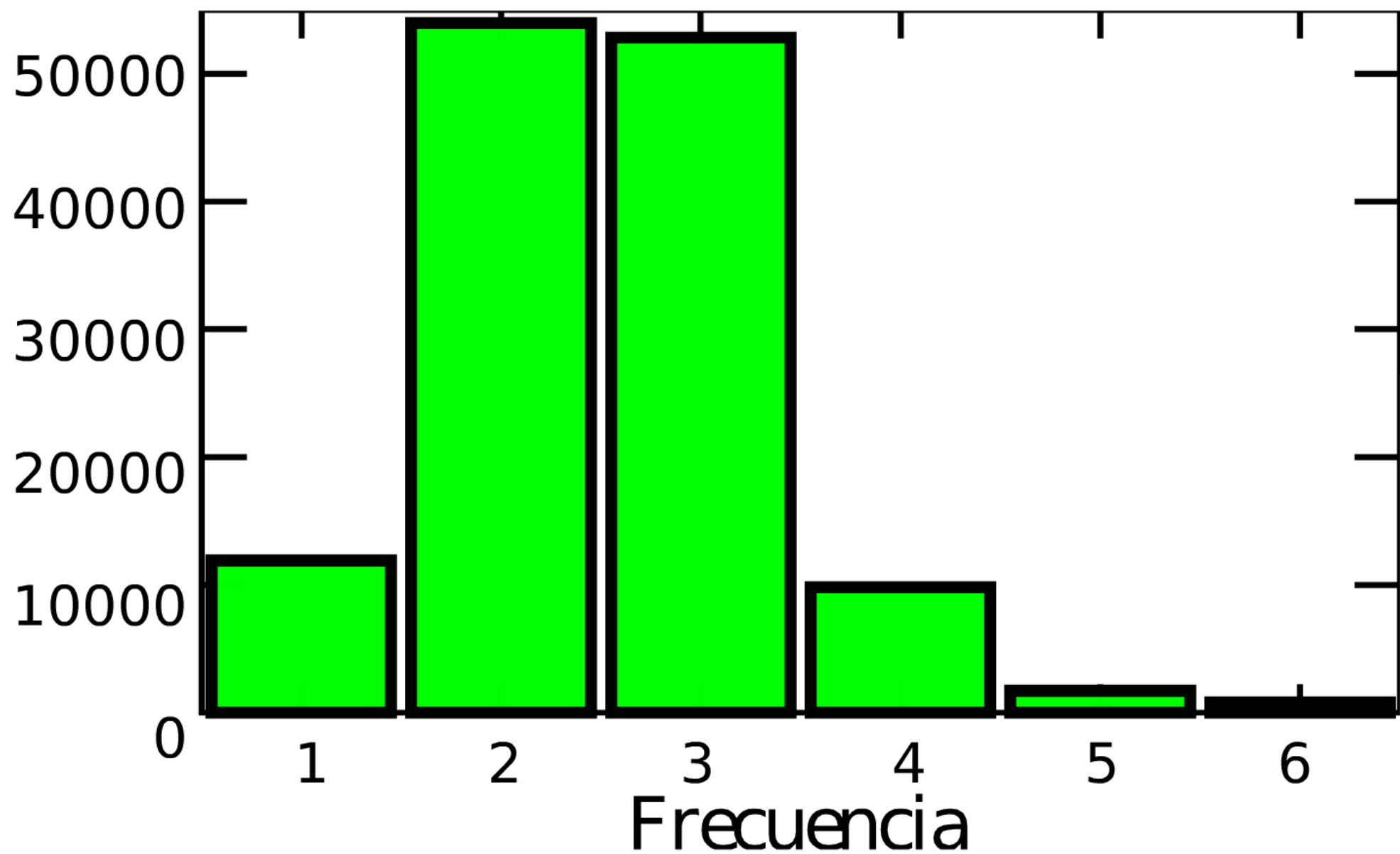
	Cantidad	Porcentaje
Puntos fijos	256	0.19
Ciclos	60	0.05
Transitivos	4355	3.32
<b>Cúspides</b>	<b>126401</b>	<b>96.44</b>
Estados totales	131072	100

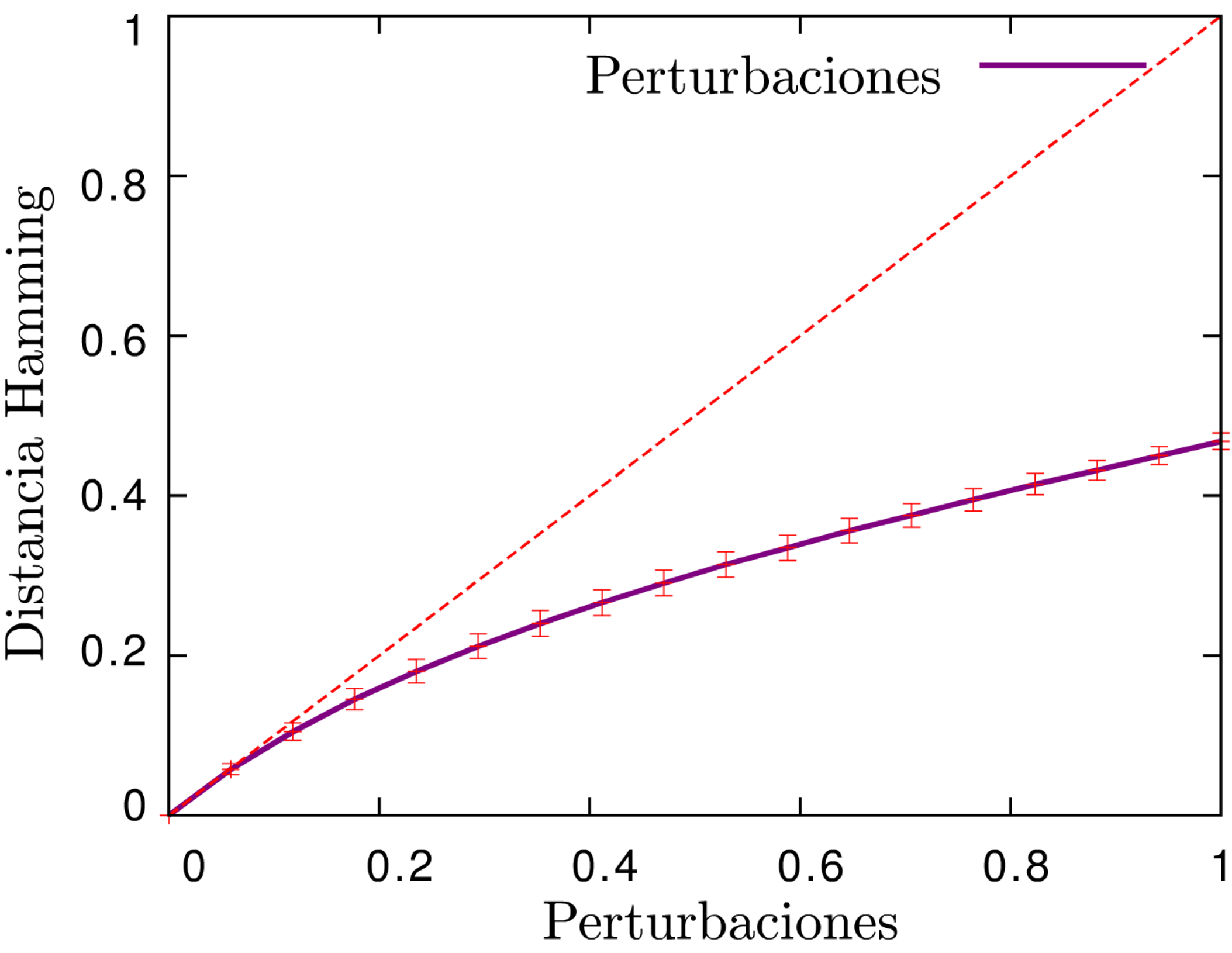


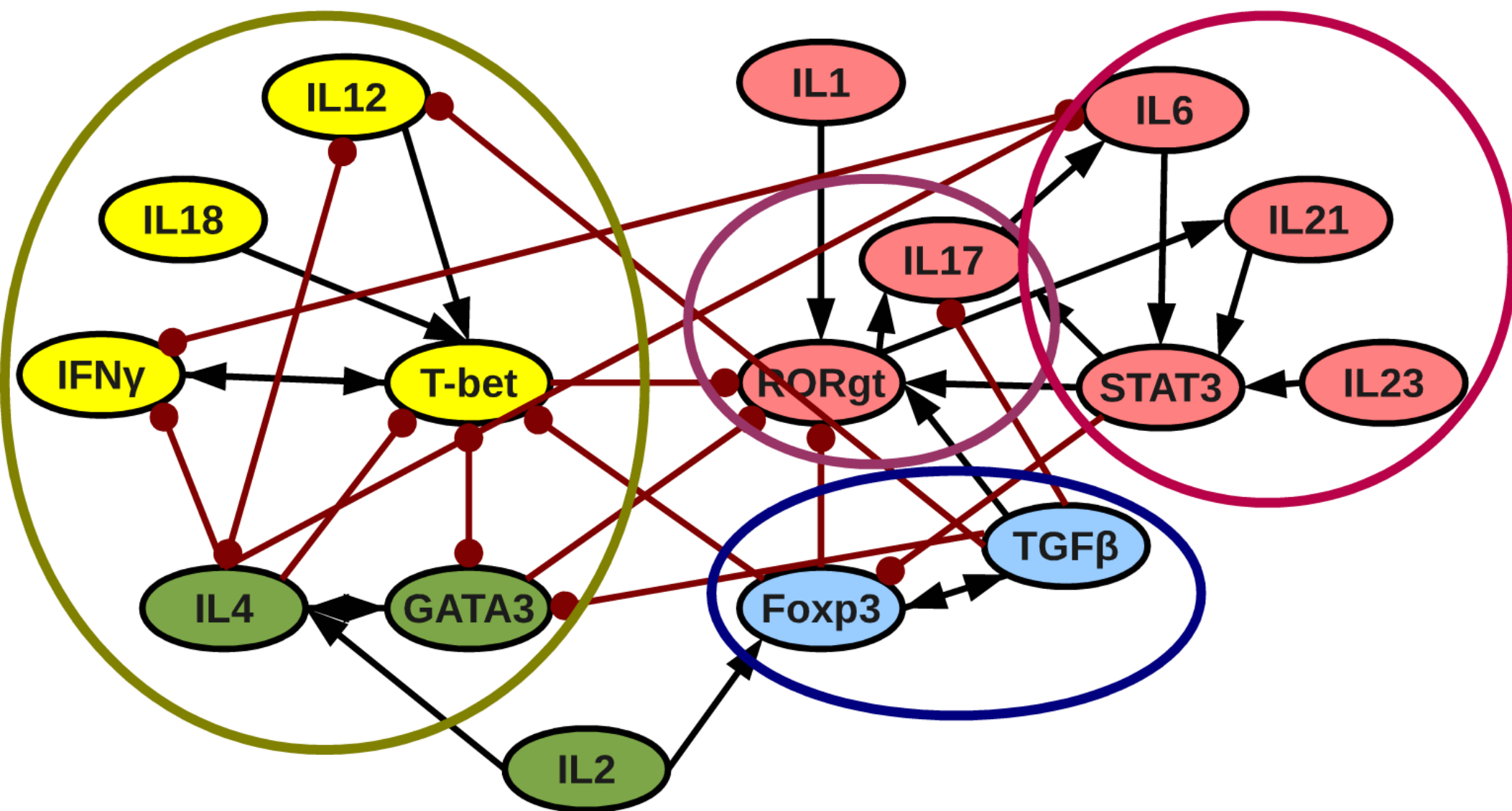
Inestable  
,

✓

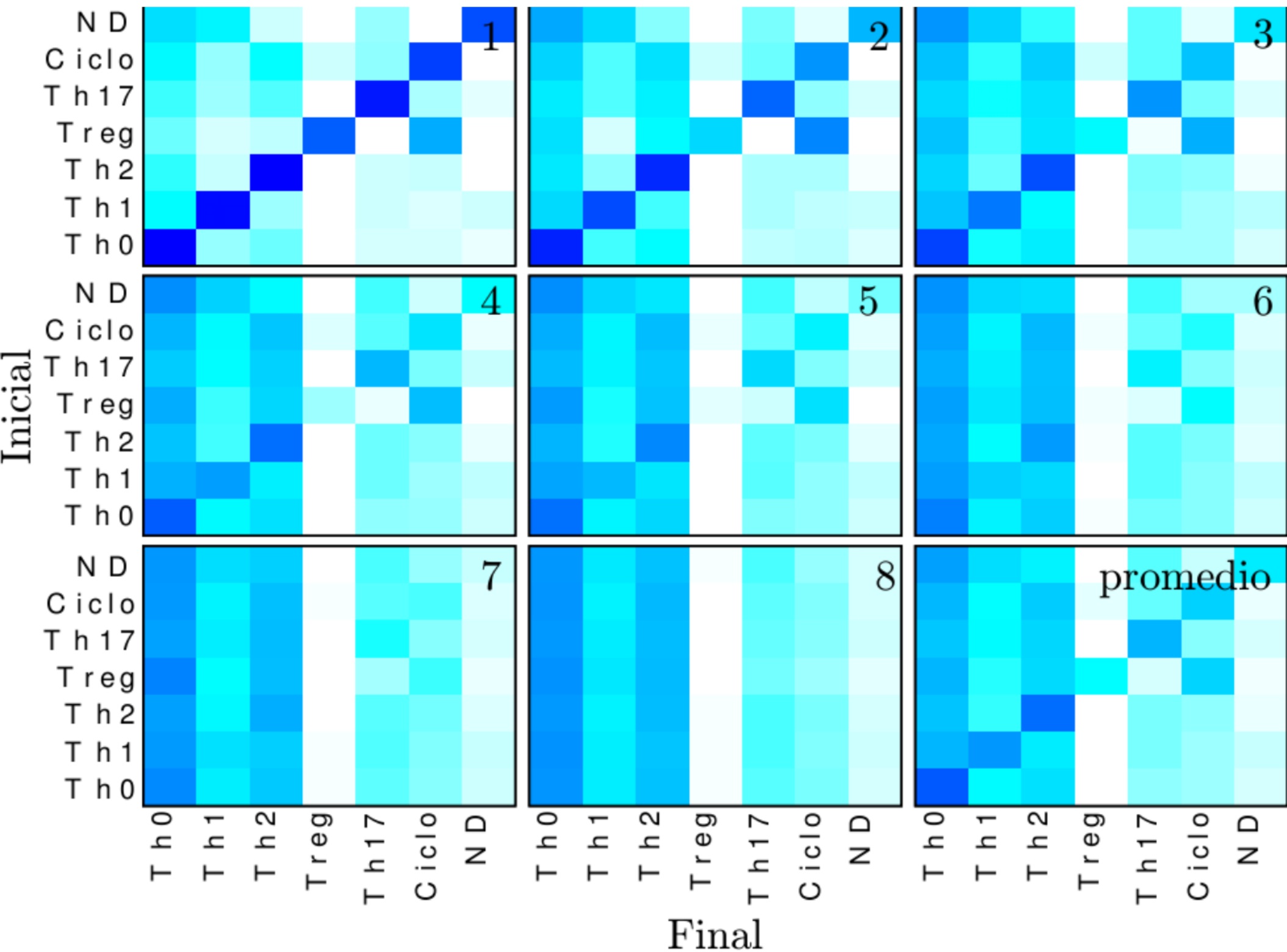
Iteraciones







	Centralidad de grado	Centralidad de intermediación
TBET	0.69	0.11
IL4	0.63	0.05
GATA3	0.56	0.03
ROR $\gamma$ t	0.56	0.1
IL12	0.5	0.04
IL6	0.44	0.09
TGF Bhi	0.44	0.04
IF Ng	0.38	0.1
IL21	0.38	0
FOXP3	0.38	0.05
TGF Bl o	0.38	0
IL2	0.25	0
IL17	0.25	0.07
STAT3	0.25	0
IL18	0.19	0
IL1	0.19	0
IL23	0.06	0



Inestable

Células T vírgenes

Estable



IL-12R $\beta$ 2<sup>+</sup>

TGF- $\beta$

IL-6

Foxp3

IFN- $\gamma$   
IL-12

ROR $\gamma$ t, AhR

Th1+2

T-bet

IL-12

IFN- $\gamma$

Type I IFN

IL-12R $\beta$ 2<sup>-</sup>

IL-4



TH2

GATA-3

# Problemas

no discreto

plasticidad

TGF-B

señalización

constantes

Treg

IL-10

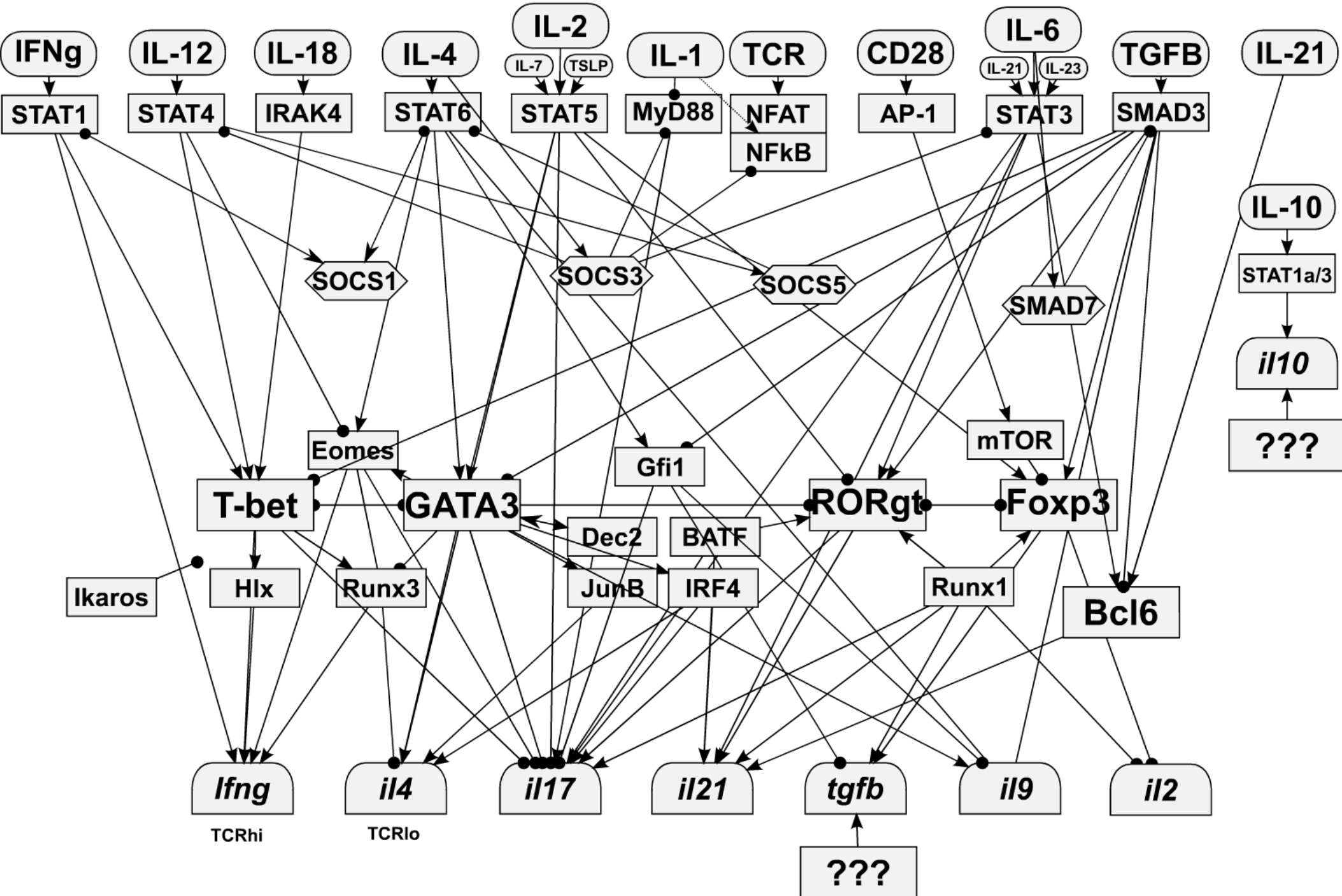
población

proliferación

activación

Th0

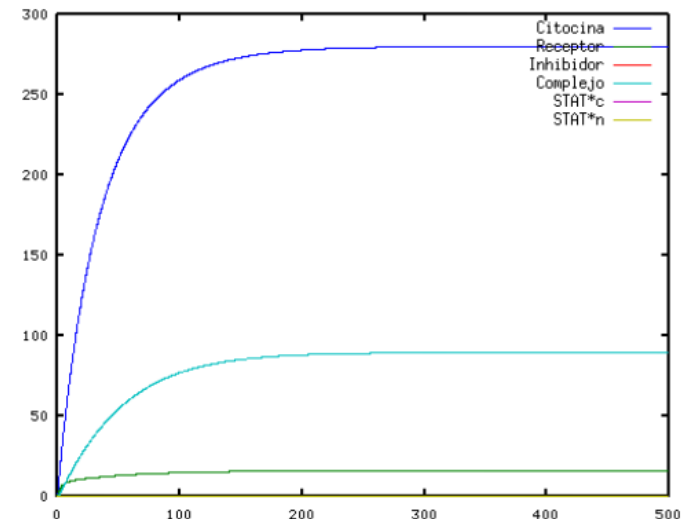
células memoria



$$\begin{aligned}
\frac{dC_L}{dt} &= P_{ExtC} + P_{IntC} - k_{AsoCR} \cdot C_L \cdot R_L + k_{DisCR} \cdot CR - k_{DegC} \cdot C_L \\
\frac{dR_L}{dt} &= P_{IntR} - k_{AsoCR} \cdot C_L \cdot R_L + k_{DisCR} \cdot CR - k_{DegR} \cdot R_L \\
\frac{dI_L}{dt} &= P_{IntI} - k_{DegI} \cdot I_L \\
\frac{dCR}{dt} &= k_{AsoCR} \cdot C_L \cdot R_L + k_{DisCR} \cdot CR \\
\frac{dS_C^*}{dt} &= \frac{k_{cat} \cdot CR \cdot S}{k_m(1 + \frac{I}{k_I}) + S} - k_T \cdot S_C^* \\
\frac{dS_N^*}{dt} &= k_T \cdot S_C^* \cdot \frac{V_{nuc}}{V_{Cit}} - K_{DP} \cdot S_N^* \\
\frac{dS}{dt} &= P_{IntS} - k_{DegS} \cdot S - \frac{k_{cat} \cdot CR \cdot S}{k_m(1 + \frac{I}{k_I}) + S} = 0
\end{aligned}$$

$$Gen = g(ST_N^*, \dots)$$

$$P_{Int} = f(Gen_1, \dots)$$



# Bibliografía

- M Clericia and GM Shearer. A TH1-TH2 switch is a critical step in the etiology of HIV infection. *Immunology Today*, 14(3):107–111, 1993.
- SQ Crome, AY Wang, and MK Leving. Function and regulation of human T helper 17 cells in health and disease. *Clinical and Experimental Immunology*, 159(2):109–119, 2010.
- C Espinosa-Soto, P Padilla-Longoria, E Alvarez-Buylla. A Gene Regulatory Network Model for Cell-Fate Determination during *Arabidopsis thaliana* Flower Development That Is Robust and Recovers Experimental Gene Expression Proles Plant Cell 16:2923-2939, 2004
- M Feuerer, L Herrero, D Cipolletta, A Naaz, J Wong, A Nayer, J Lee, AB Golne, C Benoist, S Shoelson, and D Mathis. Lean, but not obese, fat is enriched for a unique population of regulatory T cells that affect metabolic parameters. *Nature Medicine*, 15:930–939, 2009.
- L Mendoza. A network model for the control of the differentiation process in Th cells. *BioSystems*, 84:101–114, 2006.
- L Mendoza and F Pardo. A robust model to describe the differentiation of t-helper cells. *Theory in Biosciences*, 129(4):183–293, 2010.
- KM Murpy and B Stockinger. Effector T cell plasticity: flexibility in the face of changing circumstances. *Nature Reviews Immunology*, 11(8):674–680, 2010.
- A Naldi, J Carneiro, C Chaouiya, and D Thieffry. Diversity and plasticity of th cell types predicted from regulatory network modelling. *Plos Computational Biology*, 6(9), 2010.
- JJ O’Shea and WE Paul. Mechanisms underlying lineage commitment and plasticity of helper CD4+ T cells. *Science*, 327(5969):1098–1102, 2010.
- A Yoshimura, T Naka, and M Kubo. SOCS proteins, cytokine signalling and immune regulation. *Nature Reviews Immunology*, 7:454–470, 2007.
- J. Zhu and W. E. Paul. CD4 T cells: fates, functions, and faults. *Blood*, 112(5): 1557–1568, 2008.
- J. Zhu and W. E. Paul. Peripheral CD4+ T-cell differentiation regulated by networks of cytokines and transcription factors. *Immunological Reviews*, 238:247–263, 2010.